



## بررسی زمین‌شیمیایی پهنه‌های دگرسانی پیرامون رگه‌های سیلیسی طلادر زایلیک، شرق اهر، استان آذربایجان شرقی

اعظم سادات میرانوری<sup>۱\*</sup>، علی‌اصغر کلاغری<sup>۱</sup>، کمال سیاه‌چشم<sup>۱</sup>، قهرمان سهرابی<sup>۲</sup>

۱- گروه علوم زمین، دانشکده علوم طبیعی، دانشگاه تبریز، تبریز، ایران

۲- گروه علوم زمین، دانشگاه محقق اردبیلی، اردبیل، ایران

(دریافت مقاله: ۹۷/۲/۵، نسخه نهایی: ۹۷/۶/۲۶)

چکیده: منطقه کانی‌زایی زایلیک در پهنه فلز‌زایی ارسباران در شرق شهرستان اهر، استان آذربایجان شرقی واقع است. واحدهای سنگی عمده منطقه، شامل توف و گدازه‌های آندزیتی و تراکی آندزیتی وابسته به اثوسن پسین بوده که میزبان کانی‌سازی رگه‌ای طلا هستند. این سنگ‌ها توسط محلول‌های گرمابی دستخوش دگرسانی بیشتر سیلیسی، آرژیلی، فیلیک (کوارتز- سریسیت) و پروپیلیتی شده‌اند. بررسی زمین‌شیمیایی پهنه‌های دگرسانی در این منطقه نشان می‌دهد که در پهنه سیلیسی به دلیل ماهیت اسیدی سیال‌ها و شیستشوی شدید سنگ میزبان، تهی شدگی بیشتر عناصر اصلی و فرعی رخ داده است. میزان آتشویی به سمت پهنه پروپیلیتی به دلیل افزایش pH محلول‌های دگرسان‌کننده، کمتر شده است. از طرفی، وجود کانی‌هایی با جذب سطحی بالا مانند کانی‌های رسی باعث تثبیت و تمرکز بسیاری از عناصر در پهنه‌های آرژیلی، فیلیک و پروپیلیتی شده است. بررسی رفتار عناصر خاکی نادر (REE) در پهنه‌های سیلیسی شده نسبت به سنگ‌های آتشفشنایی نسبتاً سالم در این منطقه نشان می‌دهد که بیشتر این عناصر دستخوش تهی شدگی شده‌اند. شاخص‌های زمین‌شیمیایی مانند مقدار  $TiO_2$  و  $(Ba + Sr) - (Ce + La)$  نشان می‌دهند که محلول‌های گرمابی درونزad نقش بسیار مهمی در گسترش پهنه‌های دگرسانی در این منطقه داشته‌اند.

**واژه‌های کلیدی:** عناصر خاکی نادر؛ فیلیک؛ پروپیلیتی؛ آرژیلی؛ سیلیسی؛ دگرسانی؛ زایلیک اهر؛ آذربایجان شرقی.

### مقدمه

گسترده توسط سازمان زمین‌شناسی و اکتشافات معدنی کشور بوده و در اولویت اکتشاف قرار گرفته‌اند. گستره کانی‌زایی زایلیک در سال ۱۳۸۰ و در قالب پروژه اکتشاف طلا فرآگرمایی و مس پوروفیری در پهنه ارسباران شناسایی شد. عملیات اکتشافی در این منطقه نخست به صورت نمونه‌برداری اصولی سطحی از رگه‌های سیلیسی منطقه انجام گردید و طی سال‌های ۱۳۸۱ تا ۱۳۸۳ عملیات اکتشاف نیمه‌تفصیلی شامل حفر ترانشه و بررسی‌های زمین‌فیزیکی بهروش‌های بر پایه مقاومت ویژه الکتریکی (RS) و قطبش القایی (IP) انجام شد. براساس نتایج و اطلاعات بدست آمده از اکتشافات سطحی و

منطقه امیدبخش طلای زایلیک در پهنه فلز‌زایی ارسباران در شرق شهرستان اهر واقع است. پهنه فلز‌زایی ارسباران به دلیل ویژگی‌های زمین‌شناسی، از نظر کانی‌سازی طلا، مس و مولیبدن از اهمیت ویژه‌ای برخوردار است. در این پهنه، انواع کانی‌زایی پوروفیری مس- مولیبدن [۱، ۲]، اسکارنی مس و آهن [۳] و فرآگرمایی طلا [۴، ۵] وابسته به توده‌های نفوذی الیگوسن تشکیل شده‌اند. با توجه به حضور گسترده مناطق دگرسانی سیلیسی و آرژیلی در ناحیه آذربایجان و پهنه ارسباران، پروژه اکتشاف طلا و مس پوروفیری در این پهنه موضوع پژوهش‌های

پهنه‌های ساختاری ایران [۷]، این منطقه در پهنه البرز- آذربایجان قرار می‌گیرد (شکل ۱ الف).

فعالیت‌های ماقمایی سنوزوئیک در منطقه ارسباران در زمان‌های مختلف، با توجه به ویژگی‌های زمین‌ساختی- ماقمایی آن با کانی‌سازی‌های ویژه همراه است. از نظر زمانی کانه‌زایی در منطقه ارسباران در دو مقطع زمانی میوسن پیشین (مس و مولیبدن) و میوسن پسین (مس و طلا) رخ داده است. کانی‌سازی‌هایی از نوع پورفیری و فراگرمایی همراه با پهنه‌های دگرسانی گستردۀ در سنگ‌های آتشفسانی ائوسن تشکیل شده‌اند. توده‌های شبه آتشفسانی میوسن پیشین کانسارهای بزرگی از مس و مولیبدن نوع پورفیری- اسکارنی و وابسته به توده نفوذی تشکیل داده‌اند. توده‌های شبه آتشفسانی میوسن پسین همراه با کانی‌سازی‌های مهمی از مس و طلا  $\pm$  مولیبدن بیشتر از نوع پورفیری و یا فراگرمایی هستند [۸].

قدیمی‌ترین واحد سنگی منطقه زایلیک، واحدهای ائوسن پسین هستند [۹]. مهمترین واحدهای سنگی منطقه شامل سنگ‌های آذرآواری و گدازهای آتشفسانی با سن ائوسن پسین، دایک‌های آندزیتی با سن ائوسن و واحدهای ریولیتی با سن الیگوسن است (شکل ۱ ب). واحدهای ائوسن پسین میزان کانی‌سازی رگه‌ای در منطقه بوده و در اثر محلول‌های گرمایی دستخوش دگرسانی شده‌اند. این سنگ‌ها شامل سنگ‌های آذرآواری و گدازهای آتشفسانی با ترکیب غالب آندزیتی و تراکی آندزیتی هستند که بخش عمده منطقه را پوشش داده‌اند. سنگ‌های آذرآواری از نوع توف آندزیتی هستند و در قسمت شرقی منطقه گسترش بیشتری دارند. گدازهای آتشفسانی به صورت جریانی بر روی توف‌ها قرار گرفته‌اند و دارای ترکیب آندزیتی هستند. دایک‌هایی با ترکیب حدواتسط با سن ائوسن در واحدهای قدیمی‌تر نفوذ کرده‌اند. روند عمومی این دایک‌ها شمالی- جنوبی بوده و تقریباً هم‌رونده با گسل‌ها و شکستگی‌هایی است که رگه‌های کانی‌سازی شده منطقه را تشکیل می‌دهند. جدیدترین واحدهای سنگی منطقه نیز سنگ‌های ریولیتی- ریوداسیتی با سن الیگوسن است [۹].

در این منطقه، گسل‌ها و شکستگی‌هایی وجود دارند که واحدهای آتشفسانی ائوسن را قطع کرده و محل مناسبی برای تزریق محلول‌های گرمایی به وجود آورده‌اند. عبور سیال‌های گرمایی در راستای شکستگی‌ها و گسل‌ها افزون بر ایجاد دگرسانی، موجب نهشته شدن کانه‌های فلزی در این منطقه شده است.

نیمه‌سطحی، ۸ گمانه شناسایی به عمق حد بیشینه ۱۰۸ متر در سال‌های ۱۳۸۸ و ۱۳۸۹ روی رگه‌های کانی‌سازی شده حفر گردید تا اطلاعات دقیق‌تری از وضعیت کانی‌سازی طلا در عمق به دست آید. نتایج بررسی‌های انجام شده در سازمان زمین‌شناسی در قالب گزارشی ارائه شده است [۶].

در این پژوهش براساس عناصر اصلی، فرعی و عناصر خاکی نادر پهنه‌های دگرسانی در این منطقه جزئیات رفتار و مقایسه پهنه‌های دگرسان با سنگ‌های نسبتاً سالم، شرایط فیزیکوشیمیایی سیال مسئول دگرسانی و کانی‌سازی و شدت دگرسانی، همچنین نوع محلول‌های دگرسان‌کننده بررسی شده‌اند.

### روش بررسی

بررسی‌ها در این پژوهش در دو بخش صحراپی و آزمایشگاهی صورت گرفته است. در بخش صحراپی بازدید از منطقه به منظور ارزیابی و تفکیک واحدهای سنگی منطقه و پهنه‌های دگرسانی انجام شد. پس از شناسایی پهنه‌های دگرسانی، نمونه‌برداری اصولی از آنها به سمت سنگ میزان کمتر دگرسان‌شده انجام شد. از بین نمونه‌های برداشت شده، تعداد ۵۰ مقطع نازک و صیقلی از پهنه‌های دگرسان و سنگ میزان تهیه شد و مورد بررسی‌های سنگنگاری و کانه‌نگاری قرار گرفتند. برای تعیین فازهای کانیایی غیرقابل تشخیص در پهنه‌های دگرسانی، بعضی از نمونه‌ها به روش پراش پرتو ایکس (XRD) در مرکز تحقیقات فراوری مواد معدنی ایران بررسی شدند که نتایج آنها در جدول ۱ آمده است. برای تعیین عناصر اصلی، فرعی و جزئی، ۸ نمونه به روش‌های طیفسنجی فلئورسانس پرتو X (XRF) و طیفسنجی نشر نوری پلاسمای جفت شده القایی (ICP-OES) در آزمایشگاه‌های مرکز تحقیقات فراوری مواد معدنی ایران در کرج و طیفسنجی جرمی نوری پلاسمای جفت شده القایی (ICP-MS) در شرکت زرآزم در تهران تجزیه شدند که نتایج در جدول ۲ ارائه گردید.

### زمین‌شناسی منطقه

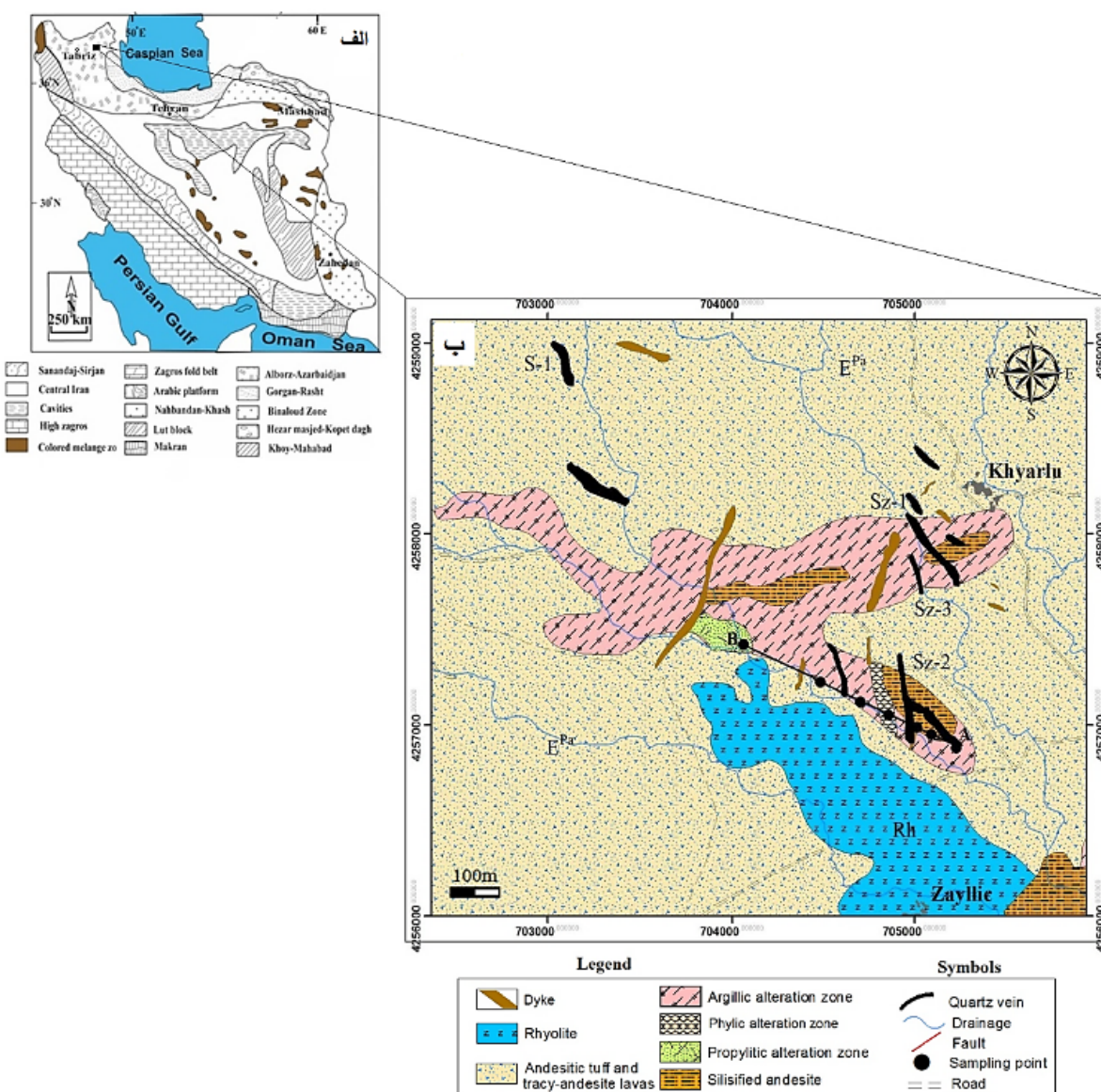
منطقه ارسباران در شمال‌غرب ایران، یکی از ایالت‌های فلز‌زایی مس- مولیبدن- طلاست که با نام پهنه ارسباران شناخته می‌شود و به دلیل ویژگی‌های زمین‌شناسی- فلز‌زایی آن همواره مورد توجه زمین‌شناسان بوده است. براساس تقسیم‌بندی

جدول ۱ نتایج برآمده از الگوهای XRD برخی نمونه‌های منطقه زاچیک.

شماره نمونه	پهنه دگرسانی	کانی‌های اصلی	کانی‌های فرعی
Th-1	سیلیسی	کوارتز	کریستوبالیت
Th-4	سیلیسی	کوارتز	سریسیت، ایلیت
Th-5	فیلیک	کوارتز، سریسیت	ایلیت
Th-7	آرژیلی	کوارتز، کاتولیت	ایلیت + سریسیت
Th-8	آرژیلی	کوارتز، ایلیت	مونت‌موریونیت + آناتاز + موسکوویت + کلریت
Th-9	پروپیلیتی	کوارتز، کلریت	کلسیت + سریسیت + آناتاز

جدول ۲ نتایج تجزیه‌های ICP-MS و ICP-OES، XRF در منطقه زاچیک.

شماره نمونه	سنگ دیواره	Th-1	Th-3	Th-4	Th-5	Th-7	Th-8	Th9
SiO <sub>2</sub> %	۵۰,۱۹	۸۹,۷	۸۵,۱۹	۸۵,۶۶	۷۹,۲۲	۷۵,۱۱	۶۱,۷۶	۵۲,۵
Al <sub>2</sub> O <sub>3</sub>	۱۹,۰۹	۷,۳۵	۷,۶۴	۹,۲۵	۱۴,۰۹	۱۷,۳۳	۲۲,۰۳	۲۰,۲۶
FeOt	۲,۴۳	۰,۱۸	۰,۶۵	۱,۱۶	۰,۵۷	۱,۰۸	۱,۹۴	۱,۹۱
CaO	۶,۶۷	۰,۴۵	۰,۵۴	۰,۱۸	۰,۲۵	۰,۰۸	۰,۸۱	۵,۹۸
MgO	۶,۰۶	۰,۱۵	۰,۱۲	۰,۱۹	۰,۰۹	۰,۰۸	۱,۷۱	۴,۲۶
Na <sub>2</sub> O	۳,۵۷	۰,۰۹	۰,۰۸	۰,۰۹	۰,۰۹	۰,۱۱	۰,۰۸	۳,۳۷
K <sub>2</sub> O	۲,۴	۱,۴۱	۰,۷۷	۰,۰۵	۳,۰۸	۴,۳	۵,۲۰	۳,۰۴
TiO <sub>2</sub>	۰,۷۵	۰,۱۱	۰,۱۰	۰,۱۷	۰,۳۱	۰,۴۰	۰,۶۷	۰,۶۷
P <sub>2</sub> O <sub>5</sub>	۰,۳۵	۰,۰۵	۰,۲۸	۰,۵۲	۰,۰۵	۰,۴۲	۰,۰۴	۰,۲۷
SO <sub>3</sub>	۰,۱۲	۰,۱۰	۰,۲۲	۰,۵۳	۰,۱۴	۰,۵۷	۰,۱۶	۰,۱
افت گرمایی (LOI)	۷,۸	۱,۳	۴,۵۴	۲,۶۶	۲,۴۸	۴,۵۴	۴,۳۹	۸,۱۸
Rb (ppm)	۸۵,۷	۸۳,۲	۸۱,۷	۷۹,۴	۱۳۱,۲	۱۷۰,۵	۱۳۲,۲	۶۷,۳
Ba	۷۷۰,۵	۶۶۰,۱	۷۷۵,۱	۷۱۰,۸	۱۶۲۶,۸	۱۰۰,۹,۶	۱۵۷۱,۸	۴۸۷,۵
Sr	۶۷۱,۷	۵۳۷,۹	۲۹۰,۷	۶۱۴,۵	۱۱۰,۶	۲۰۷,۸	۲۹۰,۵	۱۹۰,۳
Pb	۱۰,۰۱	۵۴,۱	۴۲۳,۰	۲۶۴,۰	۱۶۷,۱	۲۲۲,۲	۲۲۲,۰	۹,۸۰
Zr	۷۳,۱	۳۸,۴	۳۳,۲	۷۰,۱	۱۷۱,۱	۱۰۸,۸	۱۷۳,۴	۱۶۹,۵
Nb	۱۴,۳	۱۳,۱۰	۸,۹۱	۹,۱۱	۱۴,۹۱	۱۳,۹۰	۲۷,۴۰	۱۵,۹۰
Ta	۲,۱۰	۱,۵۰	۰,۸۲	۰,۱۲	۲,۶۱	۱,۸۰	۲,۴۰	۲,۴۰
Ga	۱۸,۱۱	۱۷,۵۰	۱۵,۳	۱۴,۸۰	۱۳,۴۰	۱۱,۰۰	۲۲,۴۰	۹,۸۱
Ag	۱,۰۱	۰,۹۸	۱,۰۰۹	۰,۹۸	۰,۹۵	۰,۹۷	۱,۱۰	۱,۰۵
Cd	۱,۰۱	۱,۰۰	۰,۹۴	۰,۹۲	۱,۰۲	۰,۹۸	۱,۰۰	۱,۰۱
Cu	۳۶,۱۰	۳۸,۰۱	۱۱۲,۰	۱۲۲,۰	۱۹۲,۱	۸۵,۰۵	۳۰,۸,۰	۴۱,۱۰
Zn	۶۹,۱	۵۷,۰	۷۸,۲	۴۴,۱	۲۱۷,۰	۱۰۳,۲	۶۸۶,۰	۸۸,۰۲
Co	۳۵,۱۰	۱۰,۰۰	۱۳,۲۱	۱۰,۰	۱۴,۶۲	۱۸,۹	۲۵,۳۱	۳۲,۲۰
Ni	۱۵,۱	۹,۸۵	۹,۵۴	۱۲,۱	۱۰,۰	۱۴,۱	۱۵,۰	۱۲,۴
V	۱۲۸,۲	۳۵,۲	۳۴,۸	۳۴,۳	۸۷,۱	۴۴,۹	۱۳۶,۱	۱۴۰,۷
La	۳۰,۴	۱۷,۲	۲۱,۰	۱۸,۵	۲۲,۸	۲۱,۱	۳۳,۹	۲۶,۹
Ce	۳۹,۰	۲۲,۳	۱۷,۹	۱۰,۱	۶۶,۸	۳۸,۴	۳۹,۰	۵۲,۴
Pr	۶,۲	۶,۷	۴,۶	۸,۳	۶,۹	۸,۱	۸,۱	۸,۷
Nd	۳۱,۴	۱۹,۸	۱۶,۰	۱۸,۹	۳۶,۹	۱۷,۵	۳۰,۸	۲۶,۴
Sm	۵,۳	۳,۹	۲,۳	۳,۸	۵,۴	۴,۹	۵,۵	۵,۶
Eu	۲,۰	۱,۰	۰,۶	۰,۸	۲,۶	۲,۱	۲,۰	۱,۰
Gd	۱۳,۲	۱۱,۶	۷,۳	۱۰,۵	۶,۳	۷,۷	۷,۴	۶,۶
Dy	۶,۶	۱,۸	۱,۵	۲,۷	۳,۹	۳,۶	۵,۷	۲,۳
Ho	۰,۷	۰,۸	۰,۵	۰,۷	۰,۵	۰,۸	۰,۷	۰,۷
Er	۱,۲	۰,۴	۰,۵	۰,۶	۰,۸	۲,۷	۱,۸	۱,۸
Tm	۱,۱	۱,۰	۰,۶	۰,۹	۰,۵	۰,۶	۰,۷	۰,۶
Yb	۱,۸	۱,۲	۰,۹	۱,۳	۱,۳	۲,۰	۲,۲	۱,۹
Lu	۰,۹	۰,۸	۰,۶	۰,۸	۰,۴	۰,۵	۰,۵	۰,۴
Sc	۱۰,۹	۱۰,۰	۸,۱	۷,۳	۹,۸	۸,۴	۱۴,۶	۶,۷
Y	۱۱,۲	۱۰,۱	۸,۲	۸,۰	۸,۵	۱۱,۱	۱۷,۹	۲۶,۴



شکل ۱ (الف) جایگاه منطقه زایلیک بر نقشه پهنه‌های ساختاری ایران و (ب) نقشه زمین‌شناسی منطقه زایلیک که افزون بر واحدهای سنگ‌شناسی، پهنه‌های دگرسانی و رگه‌های کوارتر نیز بر آن مشخص شده‌اند.

(۰.۵-٪)، فلدسپار قلیایی (کمتر از ۱۰٪) و کانی‌های فرومیزین به مقدار کمتر در آنها دیده می‌شود. گذازه‌های آتشفسانی ( $E^a$ ): این سنگ‌های آتشفسانی اغلب دارای بافت پورفیری (شکل ۲ الف) و گاهی ریزسنگی پورفیری بوده و دارای درشت بلورهای پلاژیوکلاز، آمفیبول و بیوتیت هستند. پلاژیوکلاز (۴۰-۳۰٪) از نظر ترکیبی در حد الیگوکلاز-آنزین است و به صورت درشت بلور و یا ریزبلور در زمینه سنگ دیده می‌شود و اغلب از لبه به کانی‌های رسی، سریسیت و کربنات تجزیه شده است. مهمترین کانی‌های فرومیزین در این سنگ‌ها از نوع آمفیبول و بیوتیت و به مقدار کمتر

سنگنگاری واحدهای سنگی منطقه بررسی‌های سنگنگاری انجام شده بر واحدهای آذرآواری، گذازه‌های آتشفسانی، دایک‌های حدواسط و سنگ‌های ریولیتی به شرح زیر است:

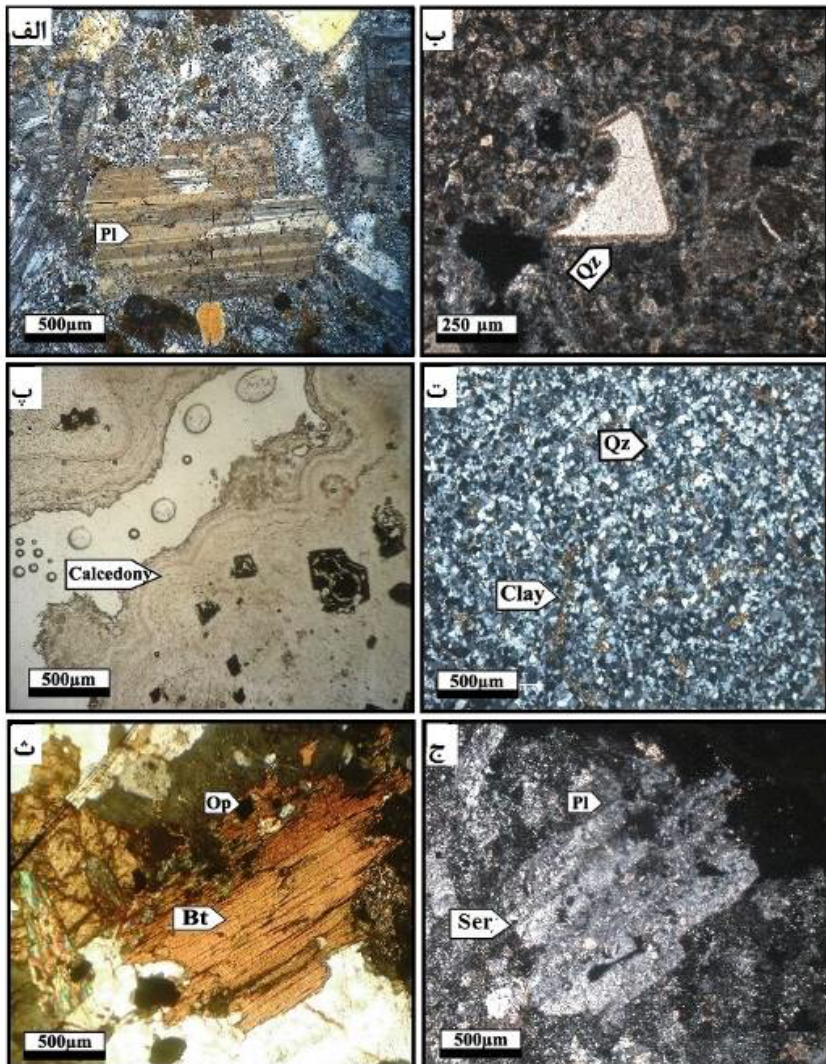
واحدهای آذرآواری ( $E^{pa}$ ): این سنگ‌ها از نوع توف بوده و دارای رنگ سبز روشن هستند. این سنگ‌ها بیشتر بافت جریانی نشان می‌دهند و اندازه قطعه‌های سنگی در آنها معمولاً درشت بوده و دارای ترکیب آندزیتی هستند. پلاژیوکلاز (۲۰-۱۵٪) مهمترین کانی این سنگ‌هاست و ماکل چندربختی نشان می‌دهد. کوارتر

هستند و گاهی تشخیص سنگ اولیه به دلیل شدت دگرسانی بسیار دشوار است. بیوتیت و کانی‌های کدر و اسفن نیز به صورت کانی‌های فرعی حضور دارند. وجود رگه-رگچه‌های کوارتز در این سنگ‌ها بسیار معمول است و درشت بلورهای کوارتز معمولاً حالت خوردگی خلیجی (شکل ۲ ب) دارند.

#### دگرسانی

دگرسانی در این منطقه شامل دگرسانی‌های درونزاد و برونزاد است. براساس بررسی‌های انجام شده دگرسانی‌های درونزاد از مرکز به سمت لبه رگه شامل پهنه سیلیسی، فیلیک (کوارتز-سریسیت)، آژیلی و پروپیلیتی است.

پیروکسن است. آمفیبول (۲۰-۴۰٪) از نوع هورنبلند است. بیوتیت (کمتر از ۱۰٪) معمولاً به صورت درشت بلورهای پراکنده در متن سنگ دیده می‌شود. کوارتز نیز معمولاً به صورت رگچه‌ای و گاهی ریزدانه در زمینه سنگ وجود دارد. دایک‌های حدواسط (D<sup>K</sup>) : این سنگ‌ها در برونزدها دارای رنگ خاکستری تا قهوه‌ای هستند. دایک‌ها دارای بافت پورفیری هستند و ترکیب کانی‌شناسی آنها مشابه واحدهای آندزیتی است و احتمالاً خاستگاه یکسانی دارند. سنگ‌های ریولیتی (R<sup>h</sup>) : این سنگ‌ها دارای درشت بلورهای خودریخت و نیمه خودریخت کوارتز (۳۰-۴۵٪)، پاتاسیم فلدسپار (۲۰-۴۵٪)، پلازیوکلاز (۱۰-۴۵٪)، آمفیبول (۱۰-۲۰٪)،



شکل ۲ تصاویر میکروسکوپی سنگ‌های منطقه و پهنه‌های دگرسانی: (الف) بافت پورفیری درسنگ‌های آتشفسانی، (ب) کوارتز دارای خوردگی خلیجی در ریولیت، (پ) بافت کلوفرم در کلسدونی. (ت) وجود سریسیت و کانی‌های رسی در فضای بین ذرات کوارتز، (ث) تبدیل بیوتیت به کانی‌های کدر و (ج) تبدیل پلازیوکلاز به سریسیت. Pl: پلازیوکلاز، Qz: کوارتز، Bt: بیوتیت، Op: کانی‌های کدر، Ser: سریسیت و Clay: کانی‌های رسی. علائم اختصاری کانی‌شناسی برگرفته از مرجع [۱۰].

رسی در این پهنه شامل ایلیت و به مقدار کمتر کاٹولینیت و مونتموریونیت هستند که توسط مقادیر کمتری از کوارتز، سریسیت، کلریت و کلسیت همراهی می‌شوند. کانی‌های رسی در این پهنه بهطور کامل و یا بخشی جانشین کانی‌های اولیه مانند پلازیوکلاز و فلدسپارقلایی شده و یا بصورت رگچه‌ای و پرکننده فضای خالی دیده می‌شوند.

**پهنه پروپیلیتی:** خارجی‌ترین پهنه دگرسانی در این منطقه پهنه پروپیلیتی است که با ظاهری سبز رنگ در منطقه دیده می‌شود و شدت دگرسانی پروپیلیتی پیرامون دایک‌های آندزیتی بیشتر است. در این پهنه، پلازیوکلازها به کانی‌های رسی (کمتر از ۱۵ درصد)، اپیدوت (کمتر از ۱۰ درصد) و کلسیت (کمتر از ۱۰ درصد) دگرسان شده‌اند. کانی اصلی در این پهنه کلریت است که از دگرسانی کانی‌های مافیک مانند بیوتیت و هورنبلند (۱۵ تا ۲۰ درصد) تشکیل شده است.

مجموعه کانی‌ای پهنه‌های دگرسانی درونزاد توسط کانی‌های مربوط به دگرسانی برونزاد در این منطقه با گسترش قابل ملاحظه‌ای پوشانده شده‌اند. از مهمترین این کانی‌ها می‌توان به اکسیدها و هیدروکسیدهای آهن (هماتیت، لیمونیت، گوتیت و جاروسیت)، سولفیدهای مس (کوولیت و کالکوست) و کانی‌های رسی اشاره کرد.

**بررسی زمین‌شیمیایی پهنه‌های دگرسانی**  
جهت بررسی رفتار عناصر و اکسیدها در طی فرایند دگرسانی، عامل غنی‌شدگی (E.F.)<sup>۱</sup> براساس رابطه زیر محاسبه شد [۱۱]:

$$\text{نمونه آندزیتی - عنصر نمونه‌های دگرسان} = \frac{100}{\text{E.F.}} \times [\text{عنصر تراکی آندزیتی} - 1]$$

نتایج محاسبات انجام شده در جدول ۳ آمده است.

#### بحث

#### عناصر اصلی و فرعی

بررسی زمین‌شیمیایی این عناصر نشان می‌دهد که بیشترین مقدار غنی‌شدگی در بین عناصر اصلی مربوط به  $\text{SiO}_2$  است. این عنصر در همه پهنه‌های دگرسانی غنی‌شدگی نشان می‌دهد (شکل ۳ الف) که میزان غنی‌شدگی در پهنه سیلیسی از دیگر پهنه‌های دگرسانی بالاتر (۶۷٪۰.۲ - ۷۵٪۰.۲) و در پهنه پروپیلیتی از همه کمتر (۲٪۷) است. در واقع، میزان غنی‌شدگی از پهنه سیلیسی به سمت پهنه پروپیلیتی کاهش

پهنه سیلیسی: از مهمترین پهنه‌های دگرسانی موجود در منطقه پهنه سیلیسی است که بیشتر کنار رگه‌های کانی‌سازی شده رخ داده است و گاهی به صورت عدسی در پهنه‌های دگرسانی دیگر از جمله پهنه آرژیلی دیده می‌شود. رنگ این پهنه از خاکستری تا قهوه‌ای متغیر بوده و گاهی درون داخل سنگ‌های آندزیتی نیز رخ داده است. براساس نتایج برآمده از الگوهای XRD مهمترین کانی‌های این پهنه شامل کوارتز (بیش از ۸۰ درصد) و کریستوبالیت (کمتر از ۱۰ درصد) هستند که توسط مقادیر کمی سریسیت (کمتر از ۱۰ درصد) همراهی می‌شوند. کوارتز بصورت رگچه‌ای در زمینه سنگ، پرکننده حفره‌های خالی، از جانشینی و یا بازتابلور کوارتزهای اولیه تشکیل شده است. کلسیونی بصورت ذرات ریز و یا بصورت رگچه‌ای با بافت کلوفرم (شکل ۲ پ) و به مقدار کمتر با بافت شعاعی دیده می‌شود. سریسیت و کانی‌های رسی نیز بصورت پراکننده و ریز در زمینه سنگ و فضای بین ذرات کوارتز (شکل ۲ ت) و یا بصورت جانشینی بر کانی‌های اولیه مانند پلازیوکلاز، فلدسپار و بیوتیت تشکیل شده‌اند.

**پهنه فیلیک (کوارتز - سریسیت):** پهنه فیلیک در این منطقه گسترش محدودی دارد بطوری که در مجاورت و کنار پهنه سیلیسی دیده می‌شود و در سنگ‌های آندزیتی رخ داده و به تدریج به پهنه آرژیلیک تبدیل می‌شود. مهمترین کانی‌های پهنه فیلیک شامل کوارتز (حدود ۵۵ تا ۶۰ درصد)، سریسیت (حدود ۱۵ تا ۲۰ درصد) و به مقدار کمتر (کمتر از ۱۰ درصد) کانی‌های رسی (بیشتر ایلیت) و کانی‌های کدر است. در این پهنه، پلازیوکلازها به سریسیت و گاهی کانی‌های رسی دگرسان شده‌اند. کانی‌های فرومیزین مانند آمفیبول و بیوتیت نیز به سولفیدهای آهن و سریسیت تبدیل شده‌اند (شکل ۲ ث).

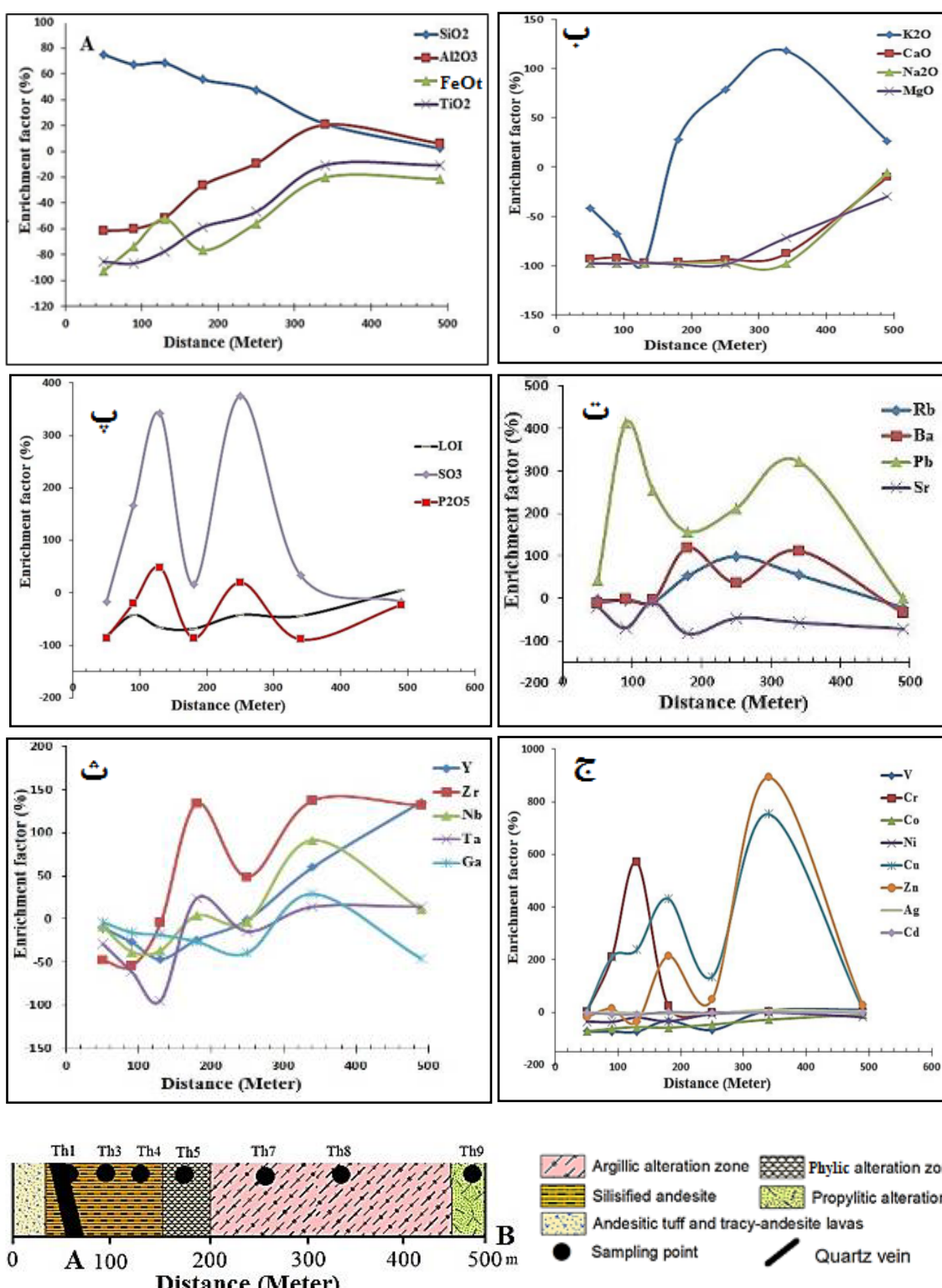
**پهنه آرژیلی:** مهمترین و گسترده‌ترین پهنه دگرسانی در منطقه زایلیک پهنه دگرسانی آرژیلی است که گاهی پهنه‌های دگرسانی سیلیسی و کوارتز - سریسیتی به صورت عدسی در آن دیده می‌شوند. این پهنه در راستای گسل‌ها و شکستگی‌های سنگ‌های آندزیتی و پیرامون رگه‌های سیلیسی رخ داده است و ضخامت آن در اطراف رگه‌ها تا دهها متر نیز می‌رسد. وجود اکسیدها و هیدروکسیدهای آهن در این پهنه باعث ایجاد رنگهای قرمز، زرد و نارنجی شده است. در این پهنه، تقریباً همه فلدسپارهای قلایی و پلازیوکلاز به کانی‌های رسی (بیش از ۸۰ درصد) و در برخی موارد به سریسیت (شکل ۲ ج) تبدیل شده‌اند. نتایج XRD و بررسی‌های سنگنگاری نشان می‌دهد که دگرسانی از نوع آرژیلی متوسط است و مهمترین کانی‌های

کم این عنصر در pHهای کمتر اسیدی ( $pH > 3$ ) و تشکیل کانی‌های آلومینوسیلیکات مانند ایلیت، کاٹولینیت و مونتمورونیت است [۱۳].  $TiO_2$  از لبه به طرف مرکز دگرسانی تهی شدگی نشان می‌دهند که این تهی شدگی در پهنه سیلیسی شدیدتر بوده و در پهنه‌های آرژیلی و پروپیلیتی کمتر است (شکل ۳ الف). تهی شدگی شدید  $FeOt$  (۹۲,۵۹) - تا (۵۲,۲۶) و  $TiO_2$  (۸۶,۶۶ - تا ۷۷,۳۳) در پهنه سیلیسی به دلیل دگرسانی کانی‌های فرومیزین مانند بیوتیت و هورنبلند و آزاد شدن آهن و تیتان و خروج آنها از محیط است [۱۳].

می‌یابد. در شرایط اسیدی سیال‌های سازنده پهنه سیلیسی، سنگ اولیه دستخوش آبشویی شدید شده است. شستشوی شدید باعث افزایش  $SiO_2$  و تهی شدگی سایر عناصر در این پهنه شده است.  $Al_2O_3$  در پهنه سیلیسی بیشترین تهی شدگی و در پهنه آرژیلی و پروپیلیتی غنی شدگی نشان می‌دهد (شکل ۳ الف). تهی شدگی شدید  $Al_2O_3$  در پهنه سیلیسی در  $pH < 2$  (۶۱,۴۹ - تا ۵۱,۵۴) به واسطه ماهیت اسیدی شدید است [۱۳, ۱۲]. غنی شدگی  $Al_2O_3$  سیال گرمابی در این پهنه است [۱۳, ۱۲]. در پهنه آرژیلی (۲۰,۶۳) و پروپیلیتی (۶,۱۲) به دلیل تحرک

جدول ۳ نتایج فاکتور غنی شدگی عناصر در زون‌های دگرسانی منطقه زایلیک.

Sample number	Th-1 silicic	Th-3 silicic	Th-4 silicic	Th-5 phyllic	Th-7 argilic	Th-8 argilic	Th-9 propylitic
$SiO_2$	۷۵,۰۲	۶۷,۴۰	۶۸,۳۲	۵۵,۶۶	۴۷,۵۹	۲۱,۳۵	۲,۲۷
$Al_2O_3$	-۶۱,۴۹	-۵۹,۹۷	-۵۱,۵۴	-۲۶,۱۹	-۹,۲۱	۲۰,۶۳	۶,۱۲
$FeOt$	-۹۲,۵۹	-۷۳,۲۵	-۵۲,۲۶	-۷۶,۵۴	-۵۵,۵۵	-۲۰,۱۶	-۲۱,۳۹
$CaO$	-۹۳,۲۵	-۹۱,۹۰	-۹۷,۳۰	-۹۶,۲۵	-۹۳,۷۰	-۸۷,۸۵	-۱۰,۳۴
$MgO$	-۹۷,۵۲	-۹۸,۰۱	-۹۶,۸۶	-۹۸,۵۱	-۹۸,۶۷	-۷۱,۷۸	-۲۹,۷۰
$Na_2O$	-۹۷,۴۷	-۹۷,۷۵	-۹۷,۴۷	-۹۷,۴۷	-۹۶,۹۱	-۹۷,۷۵	-۵۶۰
$K_2O$	-۴۱,۲۵	-۶۷,۹۱	-۹۷,۹۱	۲۸,۳۳	۷۹,۱۶	۱۱۷,۹۱	۲۶,۶۶
$TiO_2$	-۸۵,۳۳	-۸۶,۶۶	-۷۷,۳۳	-۵۸,۶۶	-۴۶,۶۶	-۱۰,۶۶	-۱۰,۶۶
$P_2O_5$	-۸۵,۷۱	-۲۰,۰۰	۴۸,۵۷	-۸۵,۷۱	۲۰,۰۰	-۸۸,۵۷	-۲۲,۸۵
$SO_3$	-۱۶,۶۶	۱۶۶,۶۶	۲۴۱,۶۶	۱۶,۶۶	۳۷۵,۰	۳۳,۳۳	-۱۶,۶۶
LOI	-۸۱,۶۶	-۴۱,۷۹	-۶۵,۸۹	-۶۸,۲۰	-۴۱,۷۹	۴۳,۷۱	۴,۸۷
Rb	-۲,۹۱	-۴,۶۶	-۷,۳۵	۵۳,۰۹	۹۸,۹۴	۵۵,۴۲	-۲۱,۴۷
Ba	-۱۰,۸۵	-۲,۰۷	-۴,۰۱	۱۱۹,۶۸	۳۶,۳۴	۱۱۲,۲۶	-۳۴,۱۶
Sr	-۱۹,۹۱	-۵۶,۷۲	-۸,۵۱	-۸۳,۵۳	-۴۶,۴۹	-۵۶,۷۵	-۷۱,۶۶
Pb	۴۴۰,۴۵	۴۱۲۵,۷۷	۲۵۳۷,۳۶	۱۵۶۹,۳۳	۲۱۲۹,۷۷	۳۲۲۶,۶۷	-۲,۰۹
Zr	-۴۷,۴۶	-۵۴,۵۸	-۴,۱۰	۱۳۴,۰۶	۴۸,۸۳	۱۳۷,۲۰	۱۳۱,۸۷
Nb	-۸,۳۹	-۳۷,۶۹	-۳۶,۲۹	۴,۲۶	-۲,۷۹	۹۱,۶۰	۱۱,۱۸
Ta	-۲۸,۵۷	-۶۰,۹۵	-۹۴,۲۸	۲۴,۲۸	-۱۴۲۸	۱۴۲۸	۱۴۲۸
Ga	-۳,۳۶	-۱۵,۵۱	-۱۸,۲۷	-۲۶,۰۰	-۳۹,۲۶	۲۹,۲۱	-۴۵,۸۳
Ag	-۲,۹۷	-۰,۰۹	-۲,۹۷	-۵,۹۴	-۳,۹۶	۸,۹۱	۳,۹۶
Cd	-۰,۹۹	-۶,۹۳	-۸,۹۱	۰,۹۹	-۲,۹۷	-۰,۹۹	.
Cu	۵,۲۹	۲۱۰,۲۴	۲۳۷,۹۵	۴۳۲,۱۳	۱۳۵,۰۹	۷۵۲,۱۸	۱۲,۸۵
Zn	-۱۷,۵۱	۱۳,۱۶	-۳۶,۱۷	۲۱۴,۰۳	۴۹,۳۴	۸۹۲,۷۶	۲۷,۳۸
Co	-۷۱,۵۰	-۶۲,۳۶	-۵۵,۸۴	-۵۸,۳۴	-۴۶,۱۵	-۲۷,۸۹	-۸,۲۶
Ni	-۳۴,۷۶	-۳۶,۸۲	-۱۹,۸۶	-۳۳,۷۷	-۶,۶۲	-۰,۶۶	-۱۷,۸۸
V	-۷۲,۵۴	-۷۲,۸۵	-۷۳,۲۴	-۳۲,۰۵	-۶۴,۹۷	۶,۱۶	۹,۷۵
La	-۴۳,۴۲	-۳۰,۹۲	-۳۹,۱۴	۱۰,۰۲	۲,۳۰	۱۱,۵۱	۲۱,۳۸
Ce	-۴۲,۸۲	-۵۴,۱۰	-۷۴,۱۰	۷۱,۲۸	-۱,۵۳	.	۳۴,۳۵
Pr	۸,۰۶	-۲۵,۸۰	۱,۶۱	۱۱,۲۹	۳۰,۶۴	-۱,۶۱	۸,۰۶
Nd	-۳۶,۹۴	-۴۹,۰۴	-۳۹,۸۰	۱۷,۵۱	-۴۴,۲۶	-۱,۹۱	-۱۵,۹۲
Sm	-۲۶,۴۱	-۵۶,۶۰	-۲۸,۳۰	۱,۸۸	-۷,۵۴	۳,۷۷	۵,۶۶
Eu	-۵۰,۰۰	-۷۰,۰۰	-۶۰,۰۰	۳۰,۰	۵,۰۰	.	-۵۰,۰۰
Gd	-۱۲,۱۲	-۴۴,۶۹	-۲۰,۴۵	-۵۲,۲۷	-۴۱,۶۶	-۴۲,۹۳	-۵۰,۰۰
Dy	-۶,۰۸۶	-۶۷,۳۹	-۴۱,۳۰	-۱۵,۲۱	-۲۶,۰۸	۲۲,۹۱	-۲۸,۲۶
Ho	۱۴,۲۸	-۲۸,۵۷	.	-۲۸,۵۷	۱۴,۲۸	.	.
Er	-۶۶,۶۶	-۵۸,۳۳	-۵۰,۰۰	-۳۳,۳۳	۱۲۵,۰۰	۵۰,۰۰	۵۰,۰
Tm	-۹,۰۹	-۴۵,۴۵	-۱۸,۱۸	-۵۴,۵۴	-۴۵,۴۵	-۴۶,۲۶	-۴۵,۴۵
Yb	-۳۳,۳۳	-۵۰,۰۰	-۲۷,۷۷	-۲۷,۷۷	۱۱,۱۱	۲۲,۲۲	۵,۵۵
Lu	-۱۱,۱۱	-۳۲,۲۳	-۱۱,۱۱	-۵۵,۵۵	-۴۴,۴۴	-۴۴,۴۴	-۵۵,۵۵
Sc	-۸,۲۵	-۲۵,۶۸	-۳۳,۰۲	-۲,۰	-۲۲,۹۳	۳۲,۹۴	-۳۸,۵۳
Y	-۹,۸۲	-۲۶,۷۸	-۴۶,۴۲	-۲۴,۱۰	-۰,۸۹	۵۹,۸۲	۱۳۵,۷۱



شکل ۳ نمودارهای توزیع عناصر در پهنه‌های دگرسانی در نیمروخ A-B از سمت سنگ‌های دیواره به سمت پهنه‌های دگرسانی: الف، ب و پ: اکسیدهای اصلی و فرعی، ت: عناصر سنگ دوست درشت یون، ث) عناصر با قدرت میدان بالا و ج: عناصر جزئی عبوری.

توسط الگوهای XRD است. تهی شدگی Na<sub>2</sub>O, CaO و MgO در همه پهنه‌های دگرسانی دیده می‌شود (شکل ۳ ب)

تهی شدگی TiO<sub>2</sub> در دو پهنه آرژیلی (۱۰/۶۶) و پروپیلیتی (۱۰/۶۶) به دلیل حضور کانی آناتاز (آشکار شده

تهی‌شدگی این عناصر به دلیل تخریب فلدسپارها، به ویژه شکسته شدن فلدسپارهای پتاسیم‌دار سنگ مادر طی دگرسانی است [۱۴]. غنی‌شدگی آنها نیز به دلیل تثبیت و تمرکز در کانی‌های رسی مانند ایلیت، سریسیت و مونتموریونیت است [۱۵].  $\text{Sr}$  در همه پهنه‌های دگرسانی تهی‌شدگی نشان می‌دهد (در پهنه سیلیسی در گستره  $56/72$ - $8/51$  تا  $56/75$ - $8/51$ ، در پهنه فیلیک  $83/53$ - $8/51$ ، در پهنه آرژیلی در گستره  $71/66$ - $46/49$  و در پهنه پروپیلیتی  $21/66$ - $71/66$ ) که به دلیل تخریب پلازیوکلازها طی فرایند دگرسانی است [۱۶].  $\text{Pb}$  در همه پهنه‌های دگرسانی به جز پروپیلیتی، غنی‌شدگی شدید داشته است (در پهنه سیلیسی در گستره  $41/25/77$ - $4/40/45$ ، در پهنه فیلیک  $15/69/33$  و در پهنه آرژیلی در گستره  $32/26/67$ - $21/29/77$ ) که در پهنه سیلیسی تهی‌شدگی شدید (در پهنه‌های فیلیک  $28/33$ - $21/29/77$ ، آرژیلیک  $117/91$ - $79/16$  و پروپیلیتی  $26/66$ ) نیز به دلیل تخریب کانی‌های فرومیزین مانند آمفیبول و بیوتیت در سیستم دگرسانی است.

**عناصر با قدرت میدان بالا (HFSE)**

عناصر Ga, Ta, Nb, Zr مهمترین عناصر با قدرت میدان بالا هستند. Zr, Nb و Ta در پهنه سیلیسی تهی‌شدگی (Nb :  $37/69$ - $8/39$  تا  $54/58$ - $4/10$  و Ta :  $94/28$ - $4/28$  و Zr :  $134/06$ - $2/28$ ) و در پهنه‌های فیلیک (Nb :  $14/28$ - $4/28$ ، پروپیلیتی (Nb :  $11/18$ - $11/18$  و Ta :  $131/87$ - $2/28$ ) و Ta حدی آرژیلی (Nb :  $91/60$ - $2/79$  تا  $14/28$ - $4/28$  و Ta :  $137/20$ - $48/83$ ) غنی‌شدگی نشان می‌دهند (شکل ۳ ث). دمای بالا باعث تحرک Zr و دمای پایین باعث تثبیت آن می‌شود [۱۸]. همچنین شرایط اسیدی باعث تحرک و شرایط قلیایی باعث تثبیت آن می‌شود [۲۰، ۱۹] اسیدیته پایین در پهنه سیلیسی باعث شستشو و تهی‌شدگی Zr و افزایش اسیدیته و کاهش دما در سایر پهنه‌ها باعث تثبیت آن شده است. غنی‌شدگی Nb و Ta نیز می‌تواند به دلیل تثبیت نیوبیوم و تانتالیم توسط کانی‌های رسی در این پهنه‌ها (آرژیلی، فیلیک و پروپیلیتی) باشد [۲۱]. Ga در پهنه آرژیلی غنی‌شدگی ( $29/21$ ) و در سایر پهنه‌ها تهی‌شدگی نشان می‌دهد (در پهنه سیلیسی در گستره  $18/27$ - $3/36$  تا  $45/83$ - $2/26$ ). pH پهنه فیلیک به نظر می‌رسد وجود کانی‌های رسی در پهنه آرژیلی باعث تمرکز و تثبیت این عنصر شده است.

که میزان تهی‌شدگی در پهنه پروپیلیتی کمتر از سایر پهنه‌هاست (CaO :  $10/34$ - $1/10$ ،  $\text{Na}_2\text{O}$  :  $5/60$ - $29/70$  و MgO :  $13/13$ - $1/13$ ) که دلیل آن حضور کانی کلسیت، شستشوی نسبتاً کم سدیم و تشکیل کانی‌های سدیم‌دار مانند آلبیت و مونت‌موریونیت است. تثبیت منیزیم در کانی کلریت در پهنه‌های دگرسانی به دلیل تهی‌شدگی CaO و  $\text{Na}_2\text{O}$  در پهنه‌های دگرسانی به دلیل تجزیه کانی‌هایی مانند پلازیوکلاز و خروج کلسیم و سدیم از سیستم دگرسانی توسط محلول‌های گرمابی اسیدی است. تهی‌شدگی شدید منیزیم به ویژه در پهنه سیلیسی ( $98/01$ - $96/86$ ) نیز به دلیل تخریب کانی‌های فرومیزین آمفیبول و بیوتیت در سیستم دگرسانی است.

تغییرات  $\text{K}_2\text{O}$  در پهنه‌های دگرسانی بسیار باز است، به طوری که در پهنه سیلیسی تهی‌شدگی شدید ( $41/25$ - $97/91$ ) و در پهنه‌های فیلیک ( $28/33$ - $21/29/77$ )، آرژیلیک ( $117/91$ - $79/16$ ) و پروپیلیتی ( $26/66$ ) نشان می‌دهد (شکل ۳ ب). احتمالاً بخشی از  $\text{K}_2\text{O}$  برآمده از سریسیتی شدن ارتوز و یا کلریتی شدن بیوتیتها دوباره در این کانی‌ها تثبیت شده است. تهی‌شدگی شدید پتاسیم در پهنه سیلیسی به دلیل دگرسانی فلدسپارهای پتاسیم و بیوتیت توسط محلول‌های به شدت اسیدی است [۱۲].  $\text{P}_2\text{O}_5$  روند ویژه‌ای را نشان نمی‌دهد، در برخی قسمت‌ها تهی‌شدگی (در پهنه‌های سیلیسی  $85/71$ - $2/20$  و آرژیلی  $88/57$ - $2/20$  و پهنه آرژیلی  $2/20$ - $48/57$ ) و پهنه آرژیلی ( $2/20$ - $48/57$ ) نشان می‌دهد (شکل ۳ پ). تهی‌شدگی  $\text{P}_2\text{O}_5$  به دلیل تخریب کانی‌های فسفاته (مثل آپاتیت) و غنی‌شدگی آن به دلیل وجود کانی‌های ثانویه فسفاتی در این قسمت‌هاست. غنی‌شدگی  $\text{SO}_3$  در همه پهنه‌های دگرسانی به ویژه پهنه‌های سیلیسی ( $166/66$ - $341/66$ ) و آرژیلی ( $375/33$ - $33/33$ ) دیده می‌شود که به دلیل حضور کانی‌گوگرددار مثل سولفیدها و سولفات‌ها (مانند سنگ گچ) است.

### عناصر سنگ دوست درشت یون (LILE)

عناصر Rb, Ba, Pb, Sr مهمترین عناصر سنگ دوست درشت یون هستند. Ba و Rb در پهنه‌های آرژیلی (Ba :  $112/26$ - $11/26$  تا  $98/94$ - $55/42$  و Rb :  $119/68$ - $36/34$ ) و فیلیک (Ba :  $10/85$ - $53/09$  و Rb :  $2/07$ - $7/35$ ) غنی‌شدگی و در پهنه‌های سیلیسی (Ba :  $2/91$ - $2/21$  و Rb :  $21/47$ ) تهی‌شدگی نشان می‌دهند (شکل ۳ ت).

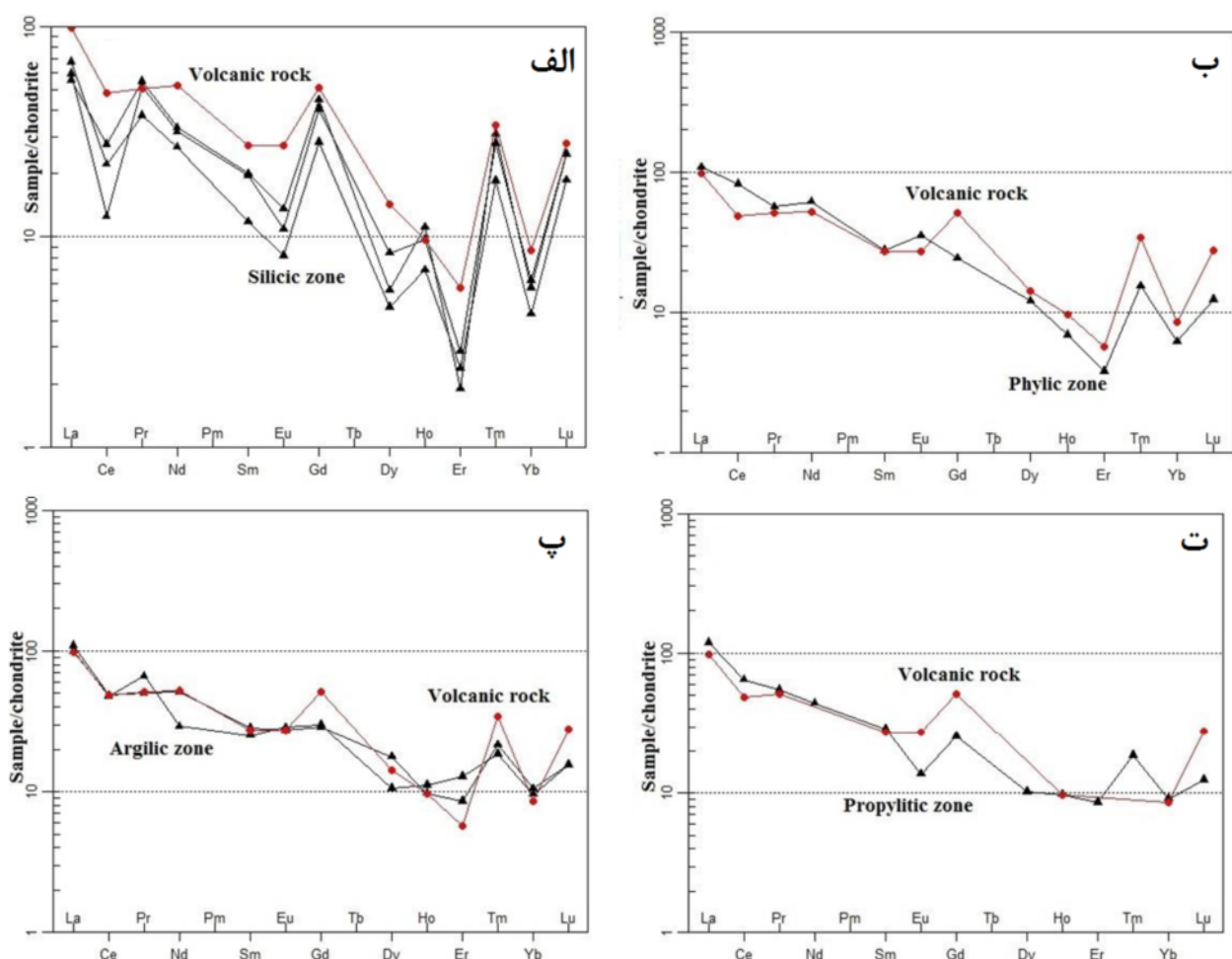
بود که عناصر خاکی نادر در محیط دگرسانی متحرک نیستند [۲۷]. اما پژوهش‌های اخیر نشان داد که این عناصر در پهنه‌های دگرسانی رفتاری متفاوت دارند و در اثر سیال‌های دگرسانی، افزایش دما و افزایش اسیدیتۀ آبشویی می‌شوند. پایداری عناصر خاکی نادر تابع ترکیب سیال، تغییر شرایط فشار و دماست. حضور یا عدم حضور کانی‌های دارای عناصر خاکی نادر توسط  $\text{pH}$ ، گریزندگی اکسیژن و غلظت‌های  $\text{SO}_4^{2-}$ ،  $\text{PO}_4^{3-}$  و  $\text{F}^-$  کنترل می‌شود [۲۸]. بررسی عناصر خاکی نادر در منطقه زایلیک نشان‌دهنده کاهش همه عناصر REE در پهنه سیلیسی است (شکل ۴ الف). در واقع بیشترین تهی‌شدگی عناصر خاکی نادر در این پهنه دیده می‌شود که این امر به علت pH پایین سیال‌ها، نسبت بالای W/R، فعالیت بالای یون REE سولفات و عدم حضور کانی‌های تثبیت کننده عناصر (مثل کانی‌های فسفات) است. بررسی عناصر REE در پهنه فیلیک نشان می‌دهد که عناصر خاکی نادر سنگین (HREE) نسبت به عناصر خاکی نادر سیک (LREE) تهی‌شدگی نشان می‌دهند (شکل ۴ ب) که این امر به دلیل تشکیل کمپلکس‌های پایدار عناصر HREE با لیگاندهای کمپلکس‌ساز و خروج آنها از این پهنه است. در پهنه آرژیلی، اسیدیتۀ محیط نسبت به پهنه سیلیسی کمتر است. مقایسه عناصر خاکی نادر در پهنه آرژیلی با مقادیر آنها در سنگ‌هایی با کمترین دگرسانی نشان‌دهنده غنی‌شدگی جزئی بیشتر عناصر خاکی نادر در پهنه آرژیلی نسبت به سنگ‌های نسبتاً سالم است (شکل ۴ پ). این امر می‌تواند به دلیل شرایط نسبتاً اسیدی (چندان پایین نبودن pH سیال نسبت به پهنه سیلیسی) و تثبیت این عناصر توسط کانی‌های رسی مانند کائولینیت در پهنه آرژیلی باشد. مقایسه عناصر خاکی نادر در پهنه پروپیلیتی نسبت به سنگ‌های آتشفشاری نشان‌دهنده تهی‌شدگی بیشتر عناصر HREE نسبت به سنگ میزان و غنی‌شدگی اندک عناصر LREE است (شکل ۴ ت). تهی‌شدگی HREE می‌تواند به علت پایداری کمپلکس‌های کلریدی [۲۹] و غنی‌شدگی جزئی LREE بخارج جذب سطحی توسط کانی‌هایی مثل کلریت، اپیدوت، کانی‌های رسی و اکسیدهای آهن باشد [۳۰]. شکل ۵ تغییرات عناصر خاکی نادر را در پهنه‌های دگرسانی از سمت سنگ‌های دیواره به سمت پهنه‌های دگرسانی نشان می‌دهد.

### عناصر جزئی عبوری

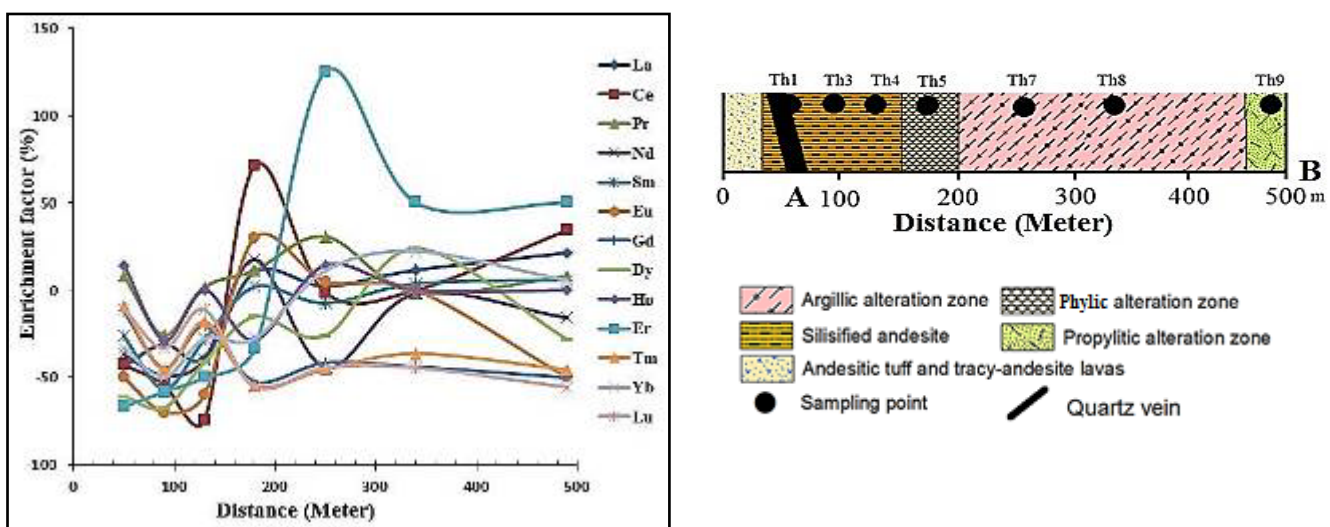
در بین عناصر جزئی عبوری، در پهنه‌های دگرسانی منطقه زایلیک Cd و Ag تقریباً بدون تغییر هستند (تهی‌شدگی و غنی‌شدگی کمی را در برخی پهنه‌های دگرسانی نشان می‌دهند). Cu در همه پهنه‌های دگرسانی غنی‌شدگی نشان می‌دهد (در پهنه سیلیسی در گستره ۵,۲۹ - ۲۳۷,۹۵ در پهنه فیلیک ۱۳,۴۲، در پهنه آرژیلی در گستره ۷۵۳,۱۸ - ۱۳۵,۵۹) و در پهنه پروپیلیتی Zn نیز در پهنه‌های آرژیلی (۱۳,۸۵) و فیلیک (۲۱۴,۰۳) و پروپیلیتی (۲۷,۳۸) گاهی سیلیسی (۱۳,۱۶ تا ۳۶,۱۷) افزایش نشان می‌دهد (شکل ۳ ج). غنی‌شدگی مس و روی نشان می‌دهد که از منبعی خارج از سنگ‌های آندزیتی تامین شده‌اند که می‌تواند محلول با خاستگاه ماقمایی و یا فروشست از سنگ‌های اطراف باشد. غنی‌شدگی بالای مس و روی در پهنه آرژیلی می‌تواند به دلیل نقش کانی‌های رسی در تثبیت و تمرکز آن باشد [۲۴]. وجود کانی‌هایی جون کالکوبیریت، کوولیت و کالکوسیت نشان‌دهنده مقادیر بالای مس در این منطقه است. Co و Ni در همه پهنه‌های دگرسانی تهی‌شدگی نشان می‌دهند که میزان تهی‌شدگی در پهنه سیلیسی از همه بیشتر Co : ۷۱,۵۰ - تا ۵۵,۸۴ و Ni : ۳۶,۸۲ - ۱۹,۸۶ و در پهنه پروپیلیتی از همه کمتر است Co : ۸,۲۶ و Ni : ۱۷,۸۸ -. کبات و نیکل در سنگ میزان در کانی‌های مافیک حضور دارند، از این رو تهی‌شدگی کبات و نیکل به دلیل شستشوی اسیدی و تخریب کانی‌های مافیک طی دگرسانی است. V در پهنه‌های سیلیسی (۳۲,۰۵) و گاهی آرژیلی (۹,۷۵) کاهش و در پهنه پروپیلیتی (۶,۱۶ - ۶۴,۹۷) تا (۷۲,۵۴ - ۷۳,۲۴) تهی‌شدگی آن به دلیل عملکرد محلول‌های دگرسان در پهنه سیلیسی و غنی‌شدگی آن به دلیل تثبیت و تمرکز آن توسط کانی‌هایی همچون آناتاز صورت گرفته است.

### عناصر خاکی نادر (REE)

میزان تحرک عناصر خاکی نادر براساس پارامترهای مختلفی مثلاً pH، پتانسیل اکسایش - کاهش (Eh)، مقدار کمپلکس‌های در دسترس و نسبت آب به سنگ (W/R) تغییر می‌کند، به‌طوری که در شرایط pH پایین و نسبت W/R بالا و در حضور لیگاندهای کمپلکس‌ساز مثل  $\text{F}^-$ ,  $\text{CO}_3^{2-}$ ,  $\text{PO}_4^{3-}$ ,  $\text{SO}_4^{2-}$  و  $\text{Cl}^-$  به حرکت درمی‌آیند [۲۶, ۲۵]. در گذشته تصور بر این



شکل ۴ مقایسه الگوی پراکندگی عناصر خاکی نادر بهنجار شده به کندریت در سنگ‌های آتشفشاری منطقه، (الف) نمونه‌های پهنه سیلیسی، (ب) پهنه فیلیک، (پ) پهنه آرزیلی، (ت) پهنه پروپیلیتی.



شکل ۵ نمودارهای توزیع عناصر خاکی نادر در پهنه‌های دگرسانی از سمت سنگ‌های دیواره به سمت پهنه‌های دگرسانی.

روش‌های متفاوتی برای تعیین نوع محلول‌های دگرسان کننده استفاده می‌کنند. چنانچه مقدار  $TiO_2$  در نمونه‌های پهنه دگرسانی کمتر از یک درصد وزنی باشد، محلول‌های دگرسان کننده دارای ماهیت درونزad و اگر بیش از یک درصد باشد دارای ماهیت برونزad هستند [۳۲]. مقدار  $TiO_2$  در همه نمونه‌ها کمتر از یک درصد است؛ بنابراین می‌توان گفت که محلول‌های درونزad نقش اصلی را در ایجاد پهنه‌های دگرسان در این منطقه داشته‌اند. از دیگر روش‌های تشخیص نوع محلول‌های دگرسان، استفاده از نمودار  $(Ce + Y + La) - (Ba + Sr)$  [۳۳] مقادیر  $Ba + Sr$  بالا مربوط به محلول‌های درونزad و مقادیر  $Ba + Sr$  پایین مربوط به محلول‌های برونزad است. بررسی نمودار  $(Ce + Y + La) - (Ba + Sr)$  در این منطقه نشان می‌دهد که محلول‌های درونزad به طور عمده در تشکیل پهنه‌های دگرسانی دخالت داشته‌اند (شکل ۷)

#### شاخص شیمیایی دگرسانی (CIA)

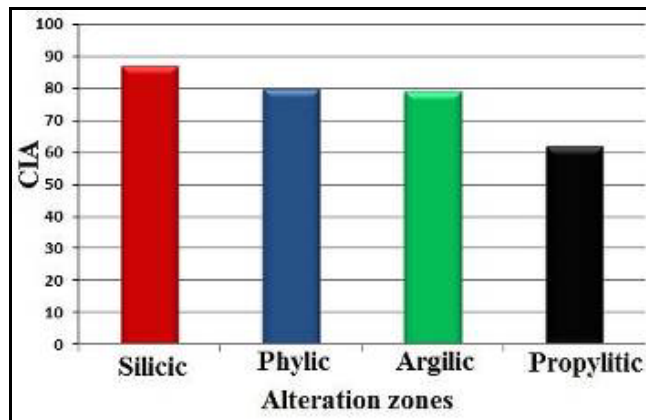
شاخص شیمیایی دگرسانی که نشان‌دهنده شدت دگرسانی در پهنه‌های دگرسان است. توسط رابطه زیر محاسبه می‌شود [۳۱]:

$$CIA = \left[ \frac{Al_2O_3}{Al_2O_3 + CaO + Na_2O + K_2O} \right] \times 100 \quad [۳۱]$$

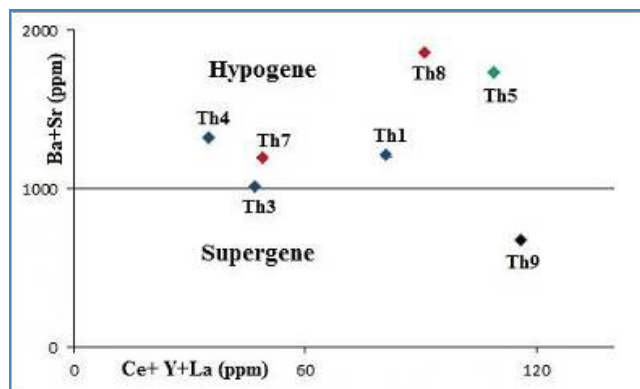
مقدار CIA برای پهنه سیلیسی در گستره  $79_{\text{و}}^{_{_{_{}}}-96_{\text{و}}^{_{_{_{}}}}-65_{\text{و}}^{_{_{_{}}}}$  (به طور میانگین  $86_{\text{و}}^{_{_{}}}/90$ )، برای پهنه فیلیک حدود  $80_{\text{و}}^{_{_{}}}/46$ ، برای پهنه آرژیلی در گستره  $78_{\text{و}}^{_{_{}}}-79_{\text{و}}^{_{_{}}}/11-20$  (به طور میانگین  $78_{\text{و}}^{_{_{}}}/66$ ) و برای پهنه پروپیلیتی حدود  $62_{\text{و}}^{_{_{}}}/05$  است (شکل ۶). بیشترین و کمترین شدت دگرسانی به ترتیب مربوط به پهنه‌های سیلیسی و پروپیلیتی است.

#### نوع محلول‌های مسئول دگرسانی گرمابی

چنان که پیشتر نیز بیان شد، دگرسانی در این منطقه شامل دگرسانی‌های درونزad و برونزad است. پژوهشگران مختلف از



شکل ۶ میانگین شاخص شیمیایی دگرسانی در پهنه‌های دگرسانی منطقه زایلیک.



شکل ۷ نمودار  $(Ce + Y + La) - (Ba + Sr)$  [۳۳] جهت تعیین نوع محلول‌های دگرسان کننده در منطقه زایلیک.

بوده‌اند؛ لذا شایسته است که نهایت سپاس و قدردانی خود را ابراز دارند. همچنین از آقای دکتر رسول فردوسی سپاسگزاری می‌شود.

#### مراجع

- [1] Calagari A.A., "Geology and fracture-related hypogene hydrothermal alteration and mineralization of porphyry copper deposit at Sungun, Iran", Journal geological society of India 64 (2004) 595-618.
- [2] Simmons V., "The study of geology, geochemistry and genesis of porphyry copper deposit in Kighal and Barmalek, north of Varzeghan", Doctoral dissertation, University of Tabriz (1389) 200 p.
- [3] Calagari A.A., Hosseinzadeh G., "The mineralogy of copper-bearing skarn to the east of the Sungun-Chay river, East-Azerbaijan, Iran", Journal of Asian Earth Sciences 28 (2006) 423-438.
- [4] Ghadimzadeh H., "Economic geology and the exploration of gold in Safi Khanloo-Nowduz, southwest of Ahar (Arasbaran Zone)", MS.C thesis, Earth Sciences Research Institute (1378).
- [5] Ferdowsi R., Calagari A.A., Hosseinzadeh M.R., Siahcheshm K., "Petrography, geochemistry and chemistry of porphyry minerals in Starghan, Kharvana, East Azarbaijan", Iranian journal of crystallography and mineralogy 4 (1394) 774-759.
- [6] Mohammadi B., Ali Akbari H., "Final report of gold exploration in the Zaylic-Sarilar (south-east of Ahar)", Geological Survey of Iran (1391) 254 p.
- [7] Nabavi M.H., "An introduction to geology of Iran", Geological Survey of Iran (1355) 109 p.
- [8] Jamali H., Dilek Y., Daliran F., Yaghoubpur A., Mehrabi B., "Metallogeny and tectonic evolution of the Cenozoic Ahar-Arasbaran volcanic belt, Northern Iran", International Geology Review 52 (2009) 608-630.
- [9] Mahdavi M.A., Amini Fazl A., "Geological map 1: 100000 Ahar", Geological Survey of Iran (1367).
- [10] Whitney D.L., Evans B.W., "Abbreviations for names of rock-forming minerals", American Mineralogist 95 (2010) 85-187.
- [11] Malpas J., Dozgoren-Aydin N.D., Aydin A., "Behaviour of chemical elements during weathering of pyroclastic rocks. Hong Kong", Environment International 26 (2001) 359-368.
- [12] Mason B., Moore C.B., "Principle of geochemistry", John Wiley, New York (1984) 344 p.
- [13] Arslan M., Kadir S., Abdioglu E., Kolayli H., "Origin and formation of Kaolin Minerals in

#### برداشت

دگرسانی‌های درونزاد و برونزاد گسترش وسیعی در منطقه زاچیلیک دارند. دگرسانی‌های درونزاد شامل چهار پهنه سیلیسی، فیلیک (کوارتز-سربیسیت)، آرژیلی و پروپیلیتی هستند. بررسی کانی‌شناسی پهنه‌های دگرسان نشان می‌دهد که کوارتز، ایلیت، کائولینیت، سربیسیت و کلریت مهمترین کانی‌های دگرسانی درونزاد و لیمونیت، گوتیت و هماتیت کانی‌های بارز دگرسانی برونزاد در این منطقه هستند. حضور کانی‌هایی چون ایلیت، اسمکتیت، کلریت، اپیدوت و کلسیت نشان دهنده pH خنثی و حضور کانی‌هایی چون کائولینیت و جاروسبیت نشان دهنده pH اسیدی محلول‌های گرمایی است. بنابراین به نظر می‌رسد که pH گرمایی در این منطقه خنثی تا اسیدی است [۳۴]. بررسی نوع محلول‌های دگرسان‌کننده در منطقه نشان می‌دهد که محلول‌های درونزاد و برونزاد هر دو در تشکیل پهنه‌های دگرسانی در این منطقه نقش داشته‌اند اما محلول‌های درونزاد نقش پرنگتری ایفا نموده‌اند. بررسی شاخص دگرسانی CIA (CIA) در این منطقه نشان می‌دهد که بیشترین مقدار CIA مربوط به پهنه سیلیسی و کمترین آن مربوط به پهنه پروپیلیتی است. محاسبه عامل غنی‌شدنی در پهنه‌های دگرسان‌کننده و ترکیب کانی‌شناسی پهنه‌های دگرسان نقش مهمی در تهی‌شدنی و غنی‌شدنی عنصر مختلف در این منطقه داشته‌اند. از جمله این کانی‌ها می‌توان به کانی‌های رسی اشاره کرد که نقش مهمی در تمرکز عناصر در پهنه‌های دگرسانی دارند و باعث تثبیت و تمرکز عناصر بسیاری مانند عناصر خاکی نادر، عناصر جزئی عبوری و عناصر با قدرت میدان بالا به ویژه در پهنه آرژیلی شده‌اند. افزون بر این، pH پایین محلول‌های دگرسان‌کننده عامل مهمی در تجزیه کانی‌هایی چون پلازیوکلاز، آلکالی فلدسپار قلیایی و کانی‌های فرومیزین و تهی‌شدنی بیشتر عناصر در پهنه سیلیسی است که باعث تهی‌شدنی بیشتر عناصر اصلی چون  $\text{Al}_2\text{O}_3$ ,  $\text{TiO}_2$ ,  $\text{FeOt}$ ,  $\text{CaO}$ ,  $\text{Na}_2\text{O}$ ,  $\text{MgO}$ ,  $\text{K}_2\text{O}$  درشت یون، عناصر با قدرت میدان بالا، عناصر جزئی عبوری و تهی‌شدنی همه عناصر خاکی نادر در پهنه سیلیسی شده است.

#### قدرتانی

بخشی از این مقاله با حمایت مرکز تحقیقات فراوری مواد معدنی ایران انجام شده است. نگارندگان از حمایت‌های مالی معاونت پژوهشی و تحصیلات تکمیلی دانشگاه تبریز برخوردار

- [25] Wood S. A., "The aqueous geochemistry of the rare earth elements and yttrium: 2. Theoretical prediction of speciation in hydrothermal solutions to 350°C at saturation water vapor pressure", *Chemical Geology* 88 (1990) 99-125.
- [26] Haas J. R., Shock E. L., Sassani D. C., "Rare earth elements in hydrothermal systems: estimates of standard partial molal thermodynamic properties of aqueous complexes of the rare earth elements at high pressures and temperatures", *Geochimica et Cosmochimica Acta* 59 (1995) 4329-4350.
- [27] Lewis A.J., Komninou A., Yardley B.W.D., Palmer M.R., "Rare earth element speciation in geothermal fluids from Yellowstone National park, Wyoming, USA", *Geochimica et Cosmochimica Acta* 62 (1998) 657-663.
- [28] Henderson P., "Development in geochemistry, rare earth elements geochemistry", Elsevier science publishers, New York (1989).
- [29] Humphris S.E., "The mobility of rare earth elements in the crust. In : Henderson, P. ( Ed.) : Rare earth element geochemistry", Elsevier, Amsterdam (1984) 317-342.
- [30] Fulignati P., Gincada A., Sbrana A., "Rare earth element (REE) behavior in the alteration facies of the active hydrothermal system of volcano (Aeolian magmatic islands, Italy)", *Journal of Volcanology and Geothermal Research* 88 (1999) 325-342.
- [31] Fedo C.M., Nesbitt P., Young G.M., "Unraveling the effect of potassium metasomatism in sedimentary rocks and paleosols, with implications for paleoweathering conditions and provenance", *Geology* 23(1995) 363-381.
- [32] Maiza P. J., Pieroni D., Marfil S. A., "Geochemistry of hydrothermal Kaolins in the SE area of Los Menudos, Province of Río Negro, Argentina", *Clay Odyssey* Elsevier, Amsterdam (2001) 123-130.
- [33] Dill H. G., Boss H. R., Henning K., Fricke A., Ahrendt H., "Mineralogical and chemical variations in hypogene and supergene kaolin deposits in a mobile fold belt the Central Andes of northwestern Peru", *Mineralium Deposita* 32 (1997) 149-163.
- [34] Reyes A.G., "Petrology of Philippine geothermal systems and the application of alteration, mineralogy to their assessment", *Journal of Volcanology and Geothermal Research* 43(1990) 279-309.
- saprolite of Tertiary alkalin volcanic rocks. Eastern pontides, NE Turkey", *Clay Minerals* 41(2007) 597-617.
- [14] Heald P., Foley N. K., Hayba D. O., "Comparative anatomy of volcanic – hosted epithermal deposite: acid – sulfate and adularia – sericite type", *Economic Geology* 82 (1987) 1-26.
- [15] White N.C., Leake M.J., McCaughey S.N., Parris B.W., "Epithermal gold deposits of the southwest Pacific", *Journal of Geochemical Exploration* 54 (1995) 87-136.
- [16] Simmons S.F., White N.C., John D., "Geological characteristics of epithermal precious and base metal deposits", *ECONOMIC GEOLOGY* 100<sup>TH</sup> ANNIVERSARY VOLUM (2005) 485-522.
- [17] Plank T., Langmuir C. H., "The chemical composition of subducting sediment and its consequence for the crust and mantle", *Chemical Geology* 145 (1988) 325-394.
- [18] Salvi S., Williams-Jones A. E., "The role of hydrothermal processe in concentrating high field strength elements in the Strange Lake peralkalin complex, northeastern Canada", *Geochimica et Cosmochimica Acta* 60 (1996) 1917-1932.
- [19] Nesbitt H. W., Wilson R. E., "Recent chemicalweathering of basalts", *American Journal of Science* 292 (1992) 740-777.
- [20] Ma J., Wei G., Xu Y., Long W., Sun W., "Mobilization and re-distribution of major and trace elements during extreme weathering of basalt in Hainan Island, South China", *Geochimica et Cosmochimica Acta* 71 (2007) 3223-3237.
- [21] Panahi A., Young G. M., Rainbird R. H., "Behavior of major and trace elements (including REE) during Paleoproterozoic pedogenesis and diagenetic alteration of an Archean granite near Vill Marie, Quebec, Canada", *Geochimica et Cosmochimica Acta* 64 (2000) 2199-2220.
- [22] Pokrovsky O.S., Schott J., Duper B., "Trace element fractionation and transport in boreal rivers and soil porewater of permafrost dominated basaltic terrain in Central Siberia", *Geochimica et cosmochimica Acta* 70 (2006) 3239-3260.
- [23] Milnes A. R., Fitzpatrick R. W., "Titanium and zirconium minerals. In: Dixon, J.B., Weed, S.W. (Eds.), *Minerals in the Soil Environment*", Soil Science Society of America (1989) 1131-1205.
- [24] Muchangos A., "The mobility of rare-earth and other elements in the process of alteration of rhyolitic rocks to bentonite (Lebombo Volcanic Mountainous Chain, Mozambique)", *Journal of Geochemical exploration* 88 (2006) 300-303.